



Investigating Neotectonics of the Karvansara Fault Zone based on Morphotectonical and Fractal Patterns of the North Nobaran, Northwestern Iran

Amir Hossein Sadr ^{a*}, Reza Alipoor ^a, Maryam Mahmoudi ^b, Zahra Rasouli Anbar ^b

^a Assistant Professor, Department of Geology, Faculty of Basic Sciences, Bu-Ali Sina University, Hamadan, Iran

^b MSc in Tectonics, Department of Geology, Faculty of Basic Sciences, Bu-Ali Sina University, Hamadan, Iran

Received: 12 April 2021

Revised: 27 June 2021

Accepted: 04 July 2021

Abstract

The Karvansara fault zone is located in north of the Nobaran and in the geological and structural zone of Central Iran. This zone is located at the south of the Caspian Sea within the Alpine-Himalayan belt. The aim of this study was to investigate the morphological evidences and evaluate the relative tectonic activities along Karvansara fault zone. For this purpose, five morphometric indices including drainage basin asymmetry factor (Af), transverse topographic symmetry factor (T), stream length-gradient index (SL), ratio of valley floor width to valley height (Vf) and hypsometric integral index (Hi) as well as fractal dimensions of faults and drainage network were calculated. The evaluation of these indexes and the overlap of their results and the evaluation of the index of relative tectonic activity (IAT) show that most of the study area indicate very active to active classes of the relative tectonic activity. Also, the calculation of fractal dimension in eleven boxes in the study area for the faults and drainage network by square method, drawing of the log-log diagrams and the use of relevant fractal analysis show the tectonic activity of the region. The neotectonic study of the Karvansara fault zone and the location of the basins with moderate to high tectonic activity, along the major active fault zones, especially in areas where fracture density is higher than other regions and fractal dimensions calculated for the fault zone and drainage network indicate that the activity of the fault system is on the southern part of the study area.

Keywords: Neotectonic, Morphometry Index, Karvansara Fault, Nobaran

*. Corresponding author: Amir Hossein Sadr

E-mail: a.sadr@basu.ac.ir

Tel: + 989183170515

How to cite this Article: Sadr, A., alipoor, R., mahmoudi, M., Rasouli Anbar, Z. (2022). Investigation of neotectonics of the Karvansara fault zone based on morphotectonical and fractal patterns of the North Nobaran, Northwestern Iran. *Journal of Geography and Environmental Hazards*, 10(4), 1-23.

doi: 10.22067/geoh.2021.69902.1044



Journal of Geography and Environmental Hazards are fully compliant with open access mandates, by publishing its articles under Creative Commons Attribution 4.0 International License (CC BY 4.0).

Geography and Environmental Hazards

Volume 10, Issue 4 - Number 40, Winter 2022

<https://geoeh.um.ac.ir>

 <https://dx.doi.org/10.22067/geoeh.2021.69902.1044> 

جغرافیا و مخاطرات محیطی، سال دهم، شماره چهلم، زمستان ۱۴۰۰ صص ۱-۲۳

مقاله پژوهشی

بررسی نوزمین ساخت پهنه گسل کاروانسرا بر پایه الگوهای ریختزمین ساختی و فرکتالی حاکم بر شمال نوبران، شمال باختر ایران

 امیرحسین صدر^۱- استادیار گروه تکنونیک، دانشکده علوم پایه، دانشگاه بوعالی سینا، همدان، ایران

رضا علی پور- استادیار گروه تکنونیک، دانشکده علوم پایه، دانشگاه بوعالی سینا، همدان، ایران

مریم محمودی- کارشناسی ارشد تکنونیک، دانشکده علوم پایه، دانشگاه بوعالی سینا، همدان، ایران

زهرا رسولی عنبر- کارشناسی ارشد تکنونیک، دانشکده علوم پایه، دانشگاه بوعالی سینا، همدان، ایران

تاریخ دریافت: ۱۴۰۰/۱/۲۳ تاریخ تصویب: ۱۴۰۰/۴/۶

چکیده

پهنه گسلی کاروانسرا در شمال نوبران و پهنه زمین‌شناسی و ساختاری ایران مرکزی قرار گرفته است. این پهنه در جنوب دریای خزر و در کمریند آلب-هیمالیا قرار دارد. مطالعه نشانه‌های ریختزمین ساختی، روش مناسبی در ارزیابی فعالیت‌های زمین‌ساخت نسبی و بررسی تأثیرات پهنه گسلی مورد مطالعه است. در این پژوهش ۵ شاخص ریخت‌سنگی، شاخص عدم تقارن حوضه‌زهکشی، تقارن توپوگرافی عرضی، گرادیان - طول رودخانه، نسبت عرض کف دره به ارتفاع آن و منحنی فرازستنجی محاسبه شده است. ارزیابی این شاخص‌ها و همپوشانی نتایج آن‌ها با یکدیگر به عنوان شاخص زمین‌ساخت فعال نسبی در چهار رده شامل مناطق با فعالیت زمین‌ساخت نسیمی، خیلی فعال تا مناطق با فعالیت کم مشخص گردید. توزیع این شاخص نواحی مربوط به فعالیت گسل‌های مختلف و نرخ‌های نسیمی زمین‌ساخت پویا را مشخص می‌سازد. همچنین بعد فرکتالی در ۱۱ مربع در منطقه مورد مطالعه برای الگوی گسل‌ها و شبکه زهکشی منطقه به روش مربع‌شمار، نمودارهای Log – Log و استفاده از تحلیل‌های فرکتالی مربوطه

Email: a.sadr@basu.ac.ir

۱ نویسنده مسئول: ۰۹۱۸۳۱۷۰۵۱۵

نحوه ارجاع به این مقاله:

صدر، امیرحسین؛ علی پور، رضا؛ محمودی، مریم؛ رسولی عنبر، زهرا؛ ۱۴۰۰. بررسی نوزمین ساخت پهنه گسل کاروانسرا بر پایه الگوهای ریختزمین ساختی و فرکتالی حاکم بر شمال نوبران، شمال باختر ایران. جغرافیا و مخاطرات محیطی.

<https://dx.doi.org/10.22067/geoeh.2021.69902.1044>

۱۰(۴). صص ۱-۲۳

محاسبه شده است. بررسی نوزمین ساخت پهنه گسلی کاروانسرا و قرارگیری حوضه‌ها، با میزان فعالیت زمین‌ساختی متوسط تا بالا، در پهنه گسل‌های اصلی و فعال در منطقه به خصوص در مناطقی که تراکم شکستگی‌ها بیش از دیگر مناطق است و ابعاد فرکتالی محاسبه شده برای پهنه گسلی و شبکه زهکشی، نشان‌دهنده عملکرد فعال سامانه گسلی در جبهه جنوبی محدوده مورد مطالعه است. نقش مؤثر ساختارهای زمین‌ساختی در ایجاد نرخ‌های بالایی از میزان فعالیت نسبی زمین‌ساختی و ریخت‌شناسی شبکه زهکشی به عنوان عوامل مخاطرات طبیعی جدی در محدوده مورد مطالعه محسوب می‌شوند.

کلیدواژه‌ها: نوزمین‌ساخت، شاخص‌های ریخت‌سنگی، گسل کاروانسرا، نوبران.

۱- مقدمه

استفاده از تحلیل ریخت‌زمین‌ساختی یکی از ابزارهای کاربردی تفسیر ساختارها، در علوم زمین است که بر روی داده‌های توپوگرافی و اطلاعات دورسنجی و غیره صورت می‌پذیرد. این تحلیل‌ها به بررسی روابط فضایی بین عوارض (لندرم) و حرکات زمین‌ساختی ایجاد کننده آن‌ها و استنباط‌های ریخت‌زمین‌ساختی در راستای تحلیل دینامیکی یا سینماتیکی این فرآیندهاست؛ به عبارت دیگر ریخت‌زمین‌ساخت یا ریخت‌شناسی زمین‌ساختی به مطالعه روابط بین فرآیندهای زمین‌ساختی که در جهت ایجاد توپوگرافی عمل می‌کنند و فرآیندهای سطحی که به حذف این پدیده‌ها می‌پردازند، اطلاق می‌گردد (بریانک و اندرسون^۱، ۲۰۱۰). گام اول در این مطالعات بررسی کمی و کیفی واحدهای توپوگرافی اصلی یک منطقه مثل رشته‌کوه‌ها، حوضه‌ها، آبراهه‌ها و خطواره‌ها است.

ارزیابی و بررسی فرآیندهای زمین‌ساختی فعال، اثرات ناشی از آن و ایجاد مخاطرات طبیعی همچون زمین‌لرزه‌ها برای بسیاری از فعالیت‌های بشری از اهمیت بالایی برخوردار است، که به‌واسطه آن می‌توان خطرات و خسارات ناشی از این‌گونه فرآیندهای فعال در طبیعت را به حداقل رساند. در این‌گونه بررسی‌ها لفظ فعال، بیانگر حرکات زمین‌ساختی با دوره زمانی چندین دهه یا چندین هزارساله، برابر با دوره زمانی که برای بقایای تجهیزات و سازه‌های مهم مثل سدها، تونل‌ها، نیروگاه‌ها و ...، برنامه‌ریزی می‌شود. گرچه شناخت فرآیندهای زمین‌ساختی با دوره‌های چند میلیون ساله نیز جهت درک کامل زمین‌ساخت فعال و کاهش مخاطرات زمین‌ساختی وابسته به آن، امری ضروری است (کلر و همکاران^۲، ۱۹۸۲). در مطالعات زمین‌ساختی مبحثی تحت عنوان نوزمین‌ساخت مطرح می‌شود که به مطالعه حرکات و فرآیندهای زمین‌ساختی جوانتر از نئوژن می‌پردازد. این واژه اولین بار توسط اوبراچف^۳ (۱۹۴۸) به عنوان مطالعه جنبش‌های جوان و اخیر رخ داده از پایان دوره ترشیری و نیمه اول دوره کواترنری بیان شده است.

1 Burbank and Anderson

2 Keller et al.

3 Obrachev

شواهد زمین‌ریختی به دو صورت کمی و کیفی قابل ارزیابی است که ارزیابی کمی تحت عنوان ریخت‌سنجمی مرسوم بوده و در آن با استفاده از پارامترهای هندسی، شاخص‌های متفاوتی تعریف می‌شود که از شاخص‌ها برای ارزیابی یک عارضه و نیز مقایسه عوارض با یکدیگر استفاده می‌شود (مولین و همکاران^۱، ۲۰۰۴). به طورکلی در طول چند سال اخیر محققین مختلف در کنار بررسی شاخص‌های ریخت‌زمین‌ساختی کیفی، در مناطق دارای حرکات زمین‌ساختی فعال و جوان، سعی در کمی نمودن رفتار حرکات زمین‌ساختی داشته و برای این امر شاخص‌های مختلفی را تحت عنوان، شاخص‌های ریخت‌سنجمی ارائه نموده‌اند، از جمله می‌توان به سیکاسی و همکاران^۲ (۱۹۸۶)، لی و همکاران^۳ (۱۹۹۹)، حمدونی و همکاران^۴ (۲۰۰۸) و گارنیری و پیرونا^۵ (۲۰۰۸)، پورکرانی و معتمدی (۱۳۸۱)، گورابی و نوحه‌گر (۱۳۸۶)، سیف و خسروی (۱۳۸۹)، مقصودی و عmadالدین (۱۳۹۰)، علی‌پور و همکاران (۲۰۱۱)، بهرامی (۱۳۹۲)، قنواتی و همکاران (۱۳۹۶)، و محمودی (۱۳۹۷)، را می‌توان نام برد.

شاخص‌های زمین‌ریخت‌سنجمی برای شناسایی خصوصیات خاص از یک ناحیه، به عنوان ابزارهای اساسی و کارآمد برای تشخیص تغییر شکل‌های سریع زمین‌ساختی و بررسی نوزمین‌ساخت مورداستفاده قرار می‌کیرند (مولین و همکاران، ۲۰۰۴). هر یک از شاخص‌ها ارائه‌دهنده یک طبقه‌بندی نسبی از میزان فعالیت‌های زمین‌ساختی می‌باشد. وقتی که از چند شاخص برای یک ناحیه استفاده شود، نسبت به کارگیری یک شاخص نتایج با معنایتری را ارائه می‌دهد. نتایج چندین شاخص می‌توانند با یکدیگر ترکیب شوند و رده فعالیت‌های زمین‌ساختی را به دست آورند. این نتایج در سطح گسترده برای تخمین درجه نسبی فعالیت‌های زمین‌ساختی در یک ناحیه مورداستفاده قرار می‌گیرد و می‌توان منطقه را به نواحی خیلی فعال، نیمه فعال یا غیرفعال رده‌بندی نمود (گورابی، ۱۳۹۵). شاخص‌های زمین‌ریخت‌سنجمی در بررسی فعالیت‌های زمین‌ساختی ابزار مفید و قابل اطمینانی هستند، زیرا با استفاده از آن‌ها می‌توان مناطقی را که در گذشته فعالیت‌های سریع و یا کند زمین‌ساختی را تجربه کرده‌اند، به راحتی شناسایی نمود (Ramirez و Herrera^۶، ۱۹۹۸).

یکی از مهم‌ترین ساختارهای شمالی بلوک ایران مرکزی، سامانه گسلی کوشک - نصرت است. این گسل با طول تقریبی ۲۰۰ کیلومتر به دو شاخه موازی از شمال ساوه تا شمال نوبران با راستای WNW-ESE ادامه می‌باید که در شمال نوبران شاخه شمالی (شاخه قمشلو با روند شمال‌باختنی - جنوب‌خاوری) تغییر روند می‌دهد اما شاخه جنوبی (شاخه خلخاب) گسل با روندی تقریباً هم‌راستا با گسل آوج ادامه می‌یابد و در انتهای شمال‌باختنی گسل آوج را قطع می‌نماید (اورنگ و همکاران، ۱۳۹۳). دگر شکلی‌های منطقه حدفاصل آوج تا نوبران تحت کنترل حرکات پهنه گسل کوشک - نصرت و به طور محلی پهنه گسل کاروانسرا است. با وجود این‌که سامانه گسلی کوشک - نصرت

1 Molin et al

2 Ciccacci et al

3 Li et al

4 El Hamdouni et al

5 Guarnier and Pirrotta, 2008

6 Ramirez and Herrera

مطالعه و مکانیزم حرکتی، آن راستالغزچپ بر تأیید شده است، اما شاخه جنوبی یا گسل خلخاب و پهنه گسل کاروانسرا که در جنوب، شاخه جنوبی در شمال نویران واقع شده است و دگرشكلي های گسترهای را در منطقه ایجاد نموده از نظر هندسی و فعالیت‌های نوزمین ساختی کاملاً ناشناخته می‌باشد. لذا در این پژوهش نیز سعی بر آن داشته تا با بررسی نوزمین ساخت و مسائل مرتبط با ریخت زمین ساخت با استفاده از شاخص‌های ریخت‌سنگی الگوی ریخت‌زنی ساختی حاکم بر بخش جنوب باختり شاخه جنوبی کوشک - نصرت (گسل کاروانسرا) را تعیین و با تلفیق نتایج تحلیل شاخص‌های زمین‌ریخت‌سنگی و بررسی شواهد ریخت‌شناسی در بازدیدهای صحرایی، میزان فعالیت نسبی زمین‌ساختی پهنه گسل کاروانسرا را در حوضه‌های مشخص شده در محدوده موردمطالعه مشخص نماییم و با استفاده از تحلیل‌های فرکتالی، الگوی حاکم بر گسل‌ها و شبکه زهکشی منطقه به روش مربع شمار و نمودارهای Log-Log بعد فرکتالی در ۱۱ مربع در نظر گرفته شده در محدوده موردمطالعه، مورد بررسی قرار دهیم.

۲- مواد و روش‌ها

در این پژوهش با استفاده از داده‌های حاصل از نقشه‌های توپوگرافی، زمین‌شناسی و عکس‌های هوایی منطقه موردمطالعه به عنوان داده‌های پایه در محیط نرم‌افزار جی‌ای‌اس^۱، نقشه‌های ساختاری، شبکه زهکشی و مدل رقومی ارتفاعی^۲ گستره موردمطالعه به عنوان داده ارتفاعی پایه تهیه گردیده و در مرحله بعدی جهت محاسبه شاخص‌های ریخت‌سنگی و با به کارگیری تکنیک‌های نرم‌افزاری، محدوده موردمطالعه به ۲۸ حوضه تقسیم گردید و سپس با توجه به ویژگی‌های ریخت‌زنی ساختی منطقه، شاخص طول جریان - شیب رود، شاخص فاکتور عدم تقارن حوضه زهکشی، شاخص تقارن توپوگرافی عرضی، نسبت عرض بستر دره به ارتفاع دره و شاخص انتگرال و منحنی هیپوسومتریک برای گستره موردمطالعه محاسبه و درنهایت به منظور تعیین میزان فعالیت زمین‌ساختی نسبی در منطقه موردمطالعه، شاخص زمین‌ساخت فعال نسبی موردن بررسی قرار گرفت. تکنیک اصلی در این پژوهش، ارزیابی نتایج حاصل از اندازه‌گیری شاخص‌های مذکور و تحلیل الگوی فرکتال حاکم بر منطقه موردمطالعه و درنهایت مقایسه نتایج حاصل از این دو با یکدیگر و مشخص نمودن مناطق فعل و دارای پتانسیل ایجاد مخاطرات طبیعی در محدوده موردمطالعه است.

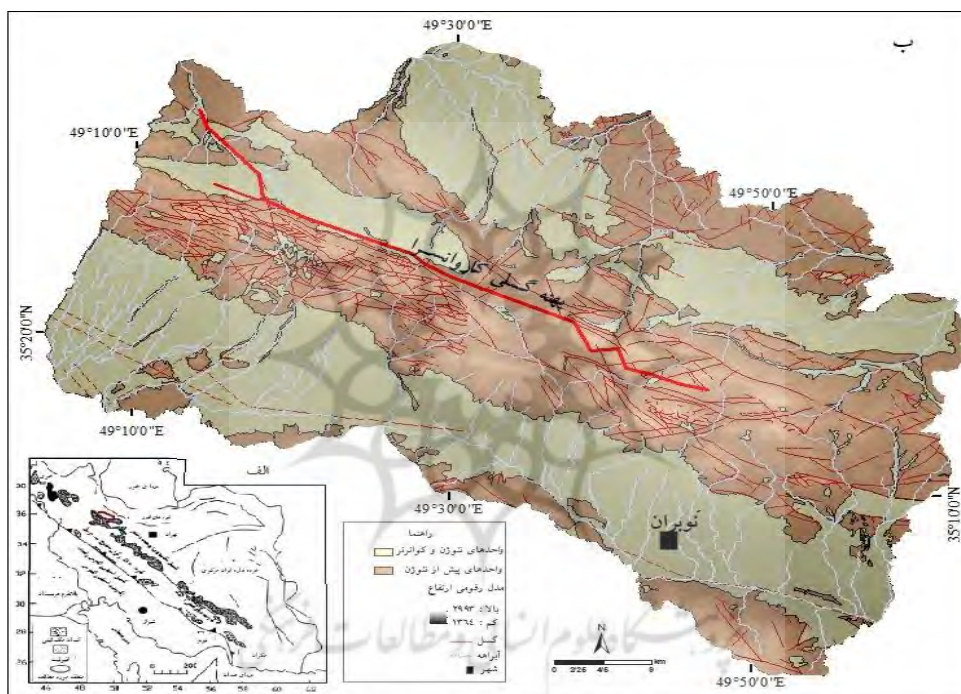
۱-۱- منطقه موردمطالعه

پهنه گسل کاروانسرا در شمال باختری ایران با طول جغرافیایی $۵۰^{\circ}۰۵'$ تا $۴۹^{\circ}۰۵'$ درجه خاوری و عرض جغرافیایی $۳۵^{\circ}۴۰'$ تا $۳۵^{\circ}۴۰'$ شمالی، در حدفاصل استان‌های همدان، مرکزی و قزوین واقع شده است که شامل بخش‌هایی از نقشه‌های زمین‌شناسی ۱:۱۰۰,۰۰۰ نویران، رزن و آوج است (اعلایی مهابادی و خلعتبری، ۱۳۸۳، اعلایی مهابادی و

¹ ArcGIS
² DEM

فوذایی، ۱۳۸۶ و بلورچی و همکاران^۱ (۱۹۷۸). گستره مورد مطالعه از نظر ساختاری و زمین‌شناسی در پهنه ایران مرکزی را قرار گرفته است (علیزاده و همکاران^۲، ۲۰۱۰) (شکل ۱-الف).

قلیمی‌ترین لایه‌های رخنمون یافته در محدوده مورد مطالعه، سنگ‌های آهکی با میان لایه‌های ماسه‌سنگی به سن ژوراسیک بالایی است که واحدهای ماسه‌سنگی با میان لایه‌هایی از سنگ آهک و شیل به سن ژوراسیک - کرتاسه بر روی آنها قرار گرفته است و سپس توالی کاملی از رسوبات کرتاسه پایینی و بالایی، واحدهای قبلی را می‌پوشاند. در دوران سنوزوییک توالی نسبتاً کاملی از واحدهای سنگی با سن‌های ائوسن و الیگومیوسن (سازند قم) و میوسن (سازند قرمز بالایی) تا رسوبات عهد حاضر رخنمون دارند (علیزادی مهابادی و خلعتبری، ۱۳۸۳) (شکل ۱-ب).



شکل ۱-الف) نقشه پهنه‌های ساختاری - زمین‌شناسی ایران، موقعیت محدوده مورد مطالعه به رنگ قرمز نشان داده شده است (علیزاده و همکاران^۲، ۲۰۱۰). ب) نقشه زمین‌شناسی ساده شده منطقه مورد مطالعه.

1 Bolourchi et al
2 Alizadeh et al
3 Alizadeh et al

۲-۲- شاخص‌های کمی ریخت‌سنگی

۱-۲-۱- شاخص طول جریان - شب رود^۱

شاخص گرادیان (شب) - طول رود یکی از شاخص‌های ارزیابی زمین‌ساخت فعال در ارتباط با شکل کanal رودها است و با استفاده از رابطه زیر محاسبه می‌گردد (هاک^۲، ۱۹۷۳).

$$SL = (\Delta H / \Delta L) \cdot L$$

SL: شاخص گرادیان - طول رود، HH: اختلاف ارتفاع محدوده، LL: معرف طول محدوده و L: طول کanal رود از خط تقسیم رود تا مرکز بخشی است که شب در آن محاسبه شده است یا به عبارتی L طول کلی کanal، از نقطه‌ای که شاخص مورد محاسبه قرار گرفته تا مرتفع‌ترین نقطه کanal است. معمولاً شاخص گرادیان طول رود نسبت به تغییرات گرادیان رود بسیار حساس است و برای ارزیابی روابط بین فعالیت زمین‌ساختی، مقاومت سنگ و توپوگرافی مورداستفاده قرار می‌گیرد (کلر و پینتر^۳، ۲۰۰۲ آ).

۲-۲-۲- شاخص فاکتور عدم تقارن حوضه زهکشی^۴

عامل عدم تقارن یا فاکتور عدم تقارن می‌تواند میزان کجشدنی زمین‌ساختی حوضه زهکشی را در مقیاس‌های بزرگ نشان دهد. فاکتور عدم تقارن حوضه زهکشی براساس رابطه زیر تعیین می‌گردد (کلرو پینتر^۵، ۱۹۹۶؛ هری و گاردنر^۶، ۱۹۸۵).

$$Af = 100 (Ar/At)$$

Af: شاخص عدم تقارن حوضه زهکشی، Ar: مساحت حوضه در برگیرنده زهکش‌های فرعی در سمت راست آبراهه اصلی (دید به سمت پایین دست آبراهه اصلی) و At: مساحت کل حوضه در برگیرنده زهکش‌های فرعی سمت چپ و راست آبراهه اصلی.

۳-۲-۲- شاخص تقارن توپوگرافی عرضی^۷

محاسبه این شاخص روشنی برای ارزیابی یک رودخانه درون حوضه و تغییرات میزان نامتقارنی در بخش‌های مختلف دره است. مقادیر تقارن توپوگرافی عرضی برای قطعات مختلف دره محاسبه می‌شود و مهاجرت ترجیحی آبراهه‌ها عمود بر محور زهکشی مشخص می‌شود و به صورت زیر تعریف شده است (سلیمانی، ۱۳۸۷).

$$T = Da / Dd$$

1 Stream length gradient index

2 Hack

3 Keller and Pinter

4 Drainage basin asymmetry factor

5 Keller and Pinter

6 Hare and Gardner

7 Transverse topographic symmetry factor

T: شاخص تقارن توپوگرافی عرض (Da= $T1+T2+T3/3$), فاصله نوار مثاندر فعل از خط میانی حوضه زهکشی و Dd: فاصله خط میانی حوضه زهکشی از خط مرز حوضه (خط تقسیم حوضه).

۲-۴-۴- نسبت عرض بستر دره به ارتفاع دره^۱

فرسایش دره‌های رودخانه‌ای و ریخت‌شناسی دره‌ها در مقطع قائم یکی دیگر از ابزارهایی است که ما را در تفسیر و بررسی میزان فعالیت نیروهای زمین‌ساختی یاری می‌نماید. این امر با استفاده از شاخص نسبت پهنه‌ی کف دره به ارتفاع دره امکان‌پذیر است. این شاخص عبارت است از نسبت دو برابر عرض کف دره به مجموع اختلاف ارتفاع دیواره دو سمت آن با ارتفاع کف دره، که از رابطه زیر محاسبه می‌شود (بال و مک فادن^۲، ۱۹۹۷).

$$Vf = 2Vfw / [(Eld - Esc) + (Erd - Esc)]$$

Vf: شاخص نسبت پهنه‌ی کف دره به ارتفاع دره، Vfw: عرض (پهنه‌ی) کف دره به متر، Eld: ارتفاع دیواره سمت چپ دره، Erd: ارتفاع دیواره سمت راست دره و Esc: ارتفاع بستر دره (ارتفاع میانگین بستر دره). نسبت پهنه‌ی کف دره رابطه مستقیمی با اندازه حوضه آبخیز و فرسایش‌پذیری سنگ‌ها و رابطه معکوس با نرخ برخاستگی (فرآیش) دارد (بال^۳، ۲۰۰۷).

۵-۲-۵- شاخص انتگرال و منحنی هیپسومتریک^۴

منحنی هیپسومتری، توزیع سطوح ارتفاعی یک منطقه از زمین یا یک حوضه آبخیز را نشان می‌دهد. منحنی هیپسومتریک حوضه با ترسیم ارتفاع کل (ارتفاع نسبی) در مقابل مساحت کل (مساحت نسبی) حوضه ترسیم می‌شود. یکی از ساده‌ترین راه‌ها برای توصیف شکل منحنی هیپسومتریک یک حوضه زهکشی، محاسبه انتگرال هیپسومتریک آن حوضه است. مقادیر بالای انتگرال هیپسومتریک دلالت بر وجود پستی و بلندی و توپوگرافی بالا نسبت به میانگین حوضه زهکشی و مقادیر حد واسط تا کم انتگرال هیپسومتریک حاکی از برش شبکه زهکشی در یک سطح هموارتر است؛ بنابراین ترسیم مساحت تجمعی در محور X و ارتفاع نسبی در محور Y، منحنی هیپسومتری حوضه ترسیم و مساحت زیر منحنی به دست می‌آید (سلیمانی، ۱۳۷۸).

1 Ratio of valley floor to valley height

2 Bull and Mc Fadden

3 Bull

4 Hypsometric integral

۱-۲-۶- شاخص ارزیابی فعالیت نسبی زمین ساختی^۱

پس از محاسبه شاخص‌های زمین‌ریخت‌سنگی در منطقه مورد مطالعه، با استفاده از شاخص ارزیابی نسبی فعالیت‌های زمین‌ساختی، فعالیت‌های زمین‌ساختی در منطقه برآورده می‌شود. شاخص فعالیت نسبی زمین‌ساختی، طبق رابطه زیر، از متوسط کلاس‌های مختلف شاخص‌های مذکور محاسبه می‌گردد.

$$Iat=S/n$$

Iat: شاخص فعالیت نسبی زمین‌ساختی، S: مجموع کلاس‌های شاخص زمین‌ریخت‌سنگی محاسبه شده، n: تعداد شاخص‌های محاسبه شده است.

۲-۳- بعد فرکtal

اساس روش مطالعه در فرکtal، محاسبه بعد فرکtalی برای عناصر هندسی است. ابعاد عناصر هندسی اعداد صحیح، ۰، ۱، ۲ و ۳ برای نقطه، خط، سطح و حجم است، که هر کدام از این‌ها بیانگر عناصر هندسی نامحدود می‌باشند؛ بنابراین ابعاد هندسی اقلیدسی به خوبی نمی‌توانند بیانگر ویژگی پدیده‌ها با هم و یا مقایسه آن‌ها با یکدیگر باشند، ولی ابعاد فرکtalی می‌توانند اعداد اعشاری بوده، بدین ترتیب محدودیتی در اندازه‌گیری هیچ‌یک از پدیده‌ها با این روش وجود ندارد. با استفاده از روش شمارش مریعات، که متدالول ترین روش در تحلیل فرکtalی شکستگی‌های ساختاری اعم از گسل‌ها و شبکه آبراهه‌ها است تورکت^۲ (۱۹۹۷)، و توسط بسیاری از محققین به کار گرفته شده است. به‌منظور استفاده از این روش ایجاد شبکه‌بندی مناسب در محدوده مورد مطالعه امری ضروری است.

تحلیل‌ها براساس نمودار Log/Log از تعداد مریع‌های دارای شکستگی (Nn) بر حسب طول شبکه‌های ایجاد شده (rn) یا عکس آن ($1/r_n$) صورت گرفته است. نمودارهای ترسیم، تغییرات ابعاد فرکtalی را نشان می‌دهند و برای هر کدام از منحنی‌های فرکtalی رابطه زیر صدق می‌کند.

$$\text{Log}(N_n) = D \text{Log}(1/r_n) + C$$

در این رابطه D شیب خط و نشان‌دهنده بعد فرکtalی پهنه برشی است.

۳- نتایج و بحث

به‌منظور تحلیل ریخت‌زمین‌ساخت منطقه مورد مطالعه، از مطالعات صحرایی، ارزیابی شواهد زمین‌ساختی تأثیرگذار بر زمین‌ریخت‌شناسی کنونی منطقه مورد مطالعه، شاخص‌های ریخت‌سنگی و تحلیل‌های فرکtalی استفاده شده است. رودخانه‌ها و شبکه زهکشی از جمله مهم‌ترین عوارضی هستند که نسبت به تغییرات زمین‌ساختی بسیار حساس می‌باشند. به‌منظور تحلیل وضعیت نوزمین‌ساختی و ارزیابی تأثیرات پهنه گسل کاروانسرا بر ریخت‌شناسی شبکه زهکشی محدوده مورد مطالعه، ابتدا محدوده مورد مطالعه به ۲۸ حوضه تقسیم گردید، سپس ۵ شاخص کمی

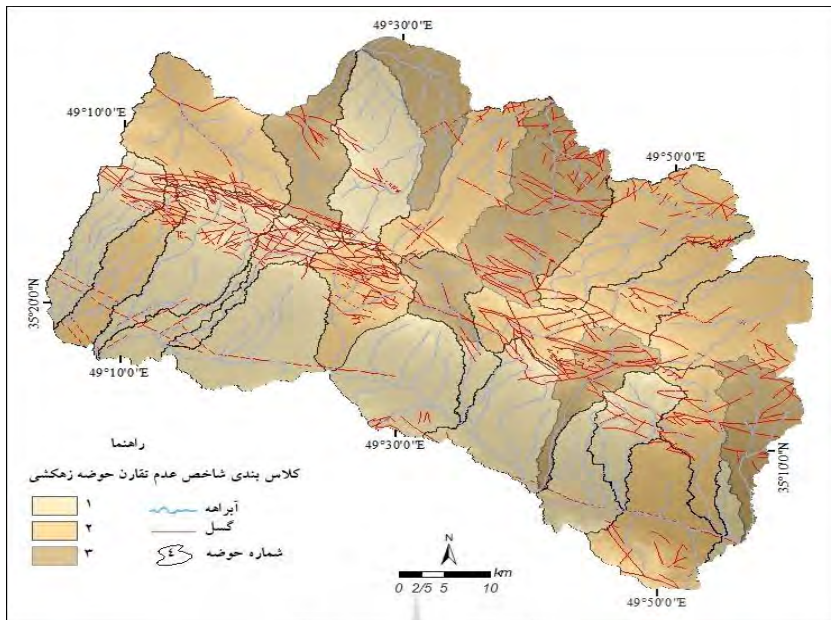
1 Index of relative active tectonics

2 Turcotte

ریخت‌سنگی، شاخص عدم تقارن حوضه زهکشی، شاخص تقارن توپوگرافی عرضی، شاخص گرادیان - طول رودخانه، شاخص نسبت پهنه‌ی کف دره به ارتفاع دره و منحنی و انتگرال ارتفاع سنجی محاسبه شده است. جهت تعیین میزان فعالیت نسبی زمین‌ساختی، شاخص ارزیابی فعالیت نسبی زمین‌ساختی محاسبه و منطقه موردمطالعه به ۳ رده، رده ۱ (با فعالیت زمین‌ساختی بالا)، رده ۲ (با فعالیت زمین‌ساختی متوسط) و رده ۳ (با فعالیت زمین‌ساختی نسبی کم)، تقسیم شده است. همچنین بعد فرکتالی در ۱۱ مریع در منطقه موردمطالعه برای الگوی گسل‌ها و شبکه زهکشی منطقه به روش مریع‌شمار، نمودارهای Log - Log و استفاده از تحلیل‌های فرکتالی مربوطه محاسبه و نتایج به دست آمده از ارزیابی فعالیت نسبی زمین‌ساختی و ابعاد فرکتالی برای سیستم گسلی فعال و شبکه زهکشی در محدوده متأثر از عملکرد پهنه گسل کاروانسرا مورد مقایسه و تحلیل قرار گرفته است.

جهت محاسبه شاخص عدم تقارن حوضه زهکشی، نقشه شبکه آبراهه‌های منطقه موردمطالعه از مدل رقومی ارتفاعی ۳۰ متر استخراج و سپس کanal اصلی رودخانه‌ها در هر ۲۸ حوضه مشخص و براساس فرمول این شاخص، پارامترهای مورد نیاز محاسبه گردید. حمدونی و همکاران (۲۰۰۸)^۱، شاخص عدم تقارن حوضه زهکشی را به سه رده تقسیم نموده‌اند: رده ۱ - حوضه نامتقارن ($a f \leq 6$ or $Af \leq 35$), رده ۲ - حوضه نیمه‌متقارن ($35 \leq Af \leq 43$ or $57 \leq Af < 65$) و رده ۳ - حوضه متقارن ($Af > 57$). با توجه به نقشه نهایی این شاخص (شکل ۲) در ۱۲ حوضه مقادیر به دست آمده از این شاخص در رده ۱ و در ۱۰ حوضه مقادیر این شاخص در رده ۲ و در ۶ حوضه باقیمانده مقادیر این شاخص در رده ۳ قرار گرفته است. در ۱۲ حوضه مذکور، با دارا بودن بیشترین اختلاف نسبت به میانگین به عنوان حوضه‌های فعال‌تر و با بیشترین کجشدنگی شناخته می‌شوند. وجود سامانه گسلی فعال و تراکم بالای شکستگی در این مناطق را می‌توان عامل این عدم تقارن و شدت کجشدنگی بیان داشت.

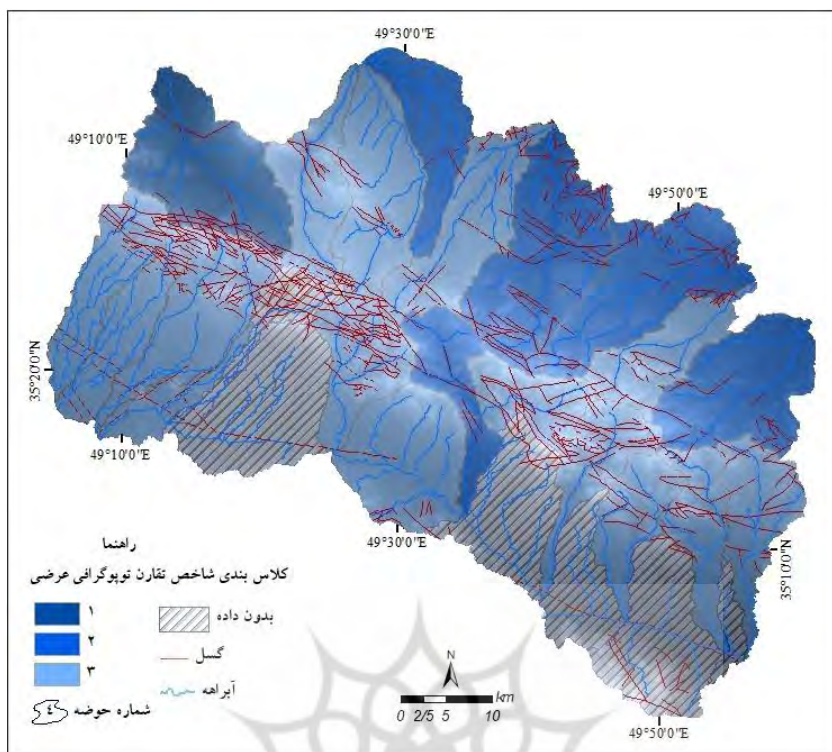
پژوهشگاه علوم انسانی و مطالعات فرهنگی
پرستال جامع علوم انسانی



شکل ۲- ارزیابی شاخص عدم تقارن حوضه زهکشی در منطقه موردمطالعه.

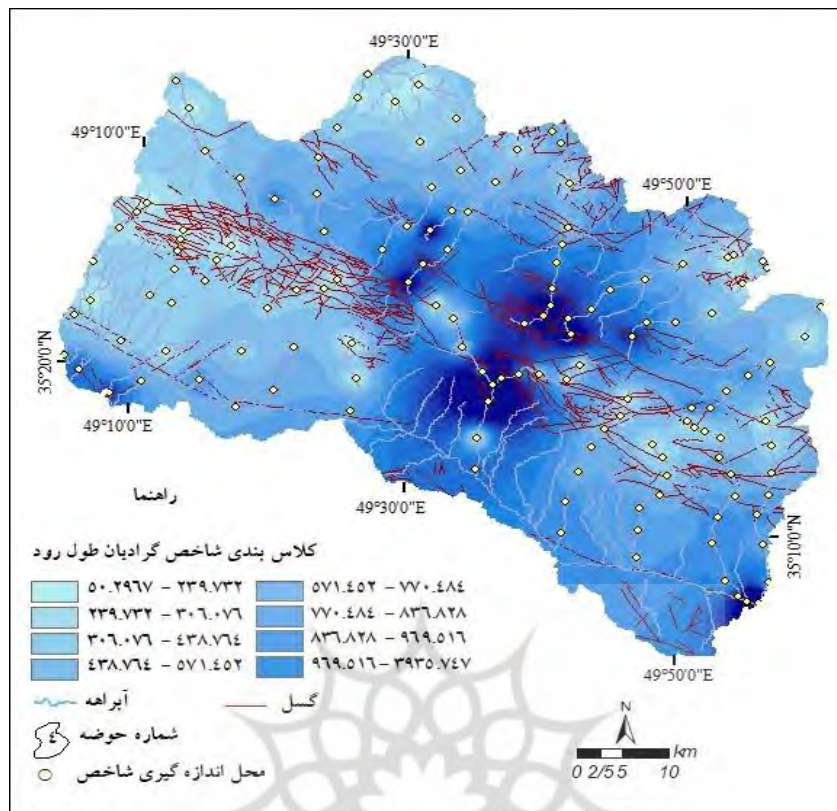
برای محاسبه شاخص توپوگرافی عرضی رودخانه، در ابتدا برای هر حوضه خط تقارن تقریبی رسم کرده و در چندین قسمت خطوط عمود بر آبراهه اصلی ترسیم و سپس با محاسبه فاصله آبراهه اصلی از دیواره حوضه و همچنین فاصله از خط تقارن فرضی، شاخص عدم تقارن حوضه محاسبه شده است. در حوضه‌های کاملاً متقارن تقارن توپوگرافی عرضی مساوی صفر و با کاهش تقارن حوضه مقدار توپوگرافی عرضی رودخانه افزایش یافته و به عدد یک نزدیک می‌شود.

این شاخص را می‌توان در سه رده تقسیم‌بندی نمود حمدونی و همکاران^۱، (۲۰۰۸): رده ۱ ($T \geq 0.4$): حوضه با فعالیت زمین‌ساختی بالا، رده ۲ ($0.2 \leq T < 0.4$): حوضه با فعالیت زمین‌ساختی متوسط و رده ۳ ($T < 0.2$): حوضه با فعالیت کم زمین‌ساختی. همان‌طور که در شکل (۳)، مشاهده می‌شود ارقام حاصله از شاخص تقارن توپوگرافی عرضی رودخانه بیشتر در رده ۳ قرار گرفته‌اند که این نتایج حاکی از نامتقارن و فعل بودن حوضه‌ها، به خصوص در بخش مرکزی در راستای پهنه گسل کاروانسرا دارد. حضور ساختارهای فعل و تراکم بالای شکستگی‌ها در بخش مرکزی منطقه موردمطالعه عامل برخاستگی منطقه و افزایش میزان این شاخص است. در ۱۵ حوضه مقادیر به دست آمده از این شاخص در رده ۳ و در ۶ حوضه مقادیر این شاخص در رده ۲ و فقط در ۱ حوضه مقادیر این شاخص در رده ۱ قرار گرفته است و در شش حوضه باقیمانده با توجه به شکل هندسی حوضه امکان محاسبه این شاخص امکان‌پذیر نگردید.



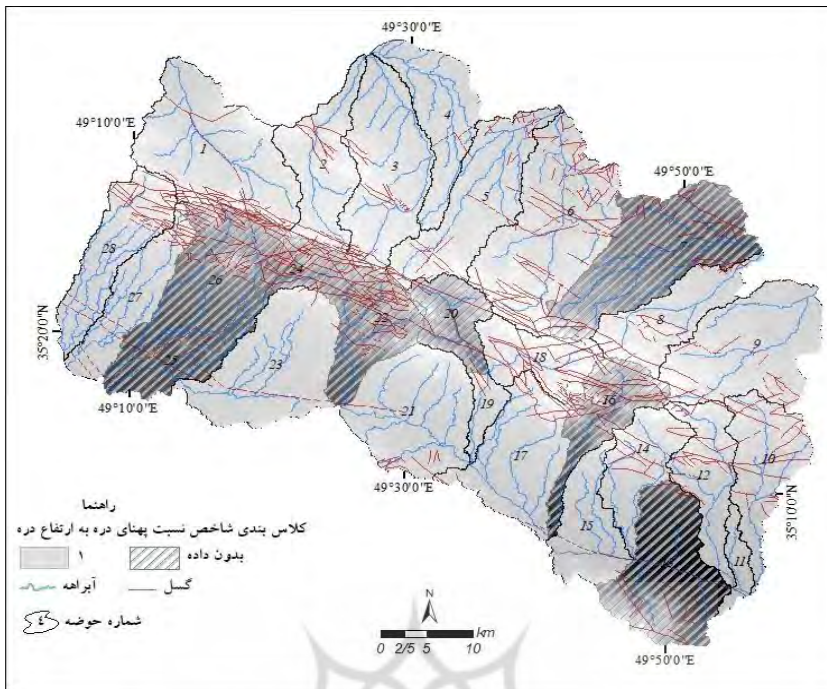
شکل ۳- ارزیابی شاخص تقارن توپوگرافی عرضی در منطقه مورد مطالعه.

برای شبکه زهکشی منطقه مورد مطالعه می‌توان یک خط تقسیم در نظر گرفت، یک، دارای روند جنوب‌باخته‌ی - شمال‌خاوری در شمال پهنه گسل کاروانسرا و دو، با روند شمال‌خاوری - جنوب‌باخته‌ی در جنوب پهنه گسلی است. اندازه‌گیری شاخص گرادیان - طول رودخانه برای آبراهه‌های اصلی از بالا دست به سمت پایین دست در قطعات ۱۰۰ متری صورت گرفته و سپس نقشه پهنه‌بندی شاخص گرادیان - طول رودخانه تهیه شد (شکل ۴). مقدار این شاخص از ۳۹۳۵ در مناطق فعال نسبی زمین‌ساختی تا ۵۰ در مناطق با فعالیت کم زمین‌ساختی متغیر است. در راستای بیشتر گسل‌های منطقه و در محل تلاقی رودخانه با ساختارهای فعال، طول رود افزایش یافته و یک آنومالی در این قسمت دیده می‌شود. با تلفیق داده‌های حاصل از لایه‌های ساختاری، مقاومت سنگ‌ها و شاخص گرادیان - طول رود این آنومالی‌ها را می‌توان به عملکرد ساختارهای فعال در گستره مورد مطالعه نسبت داد. در محل برخورد روندهای مختلف ساختاری در بخش مرکزی منطقه مورد مطالعه، مقدار این شاخص روند افزایشی نشان می‌دهد، بنابراین می‌توان گفت حرکات زمین‌ساختی به خصوص از نوع برخاستگی موجب افزایش گرادیان این رودها در این مناطق شده است.



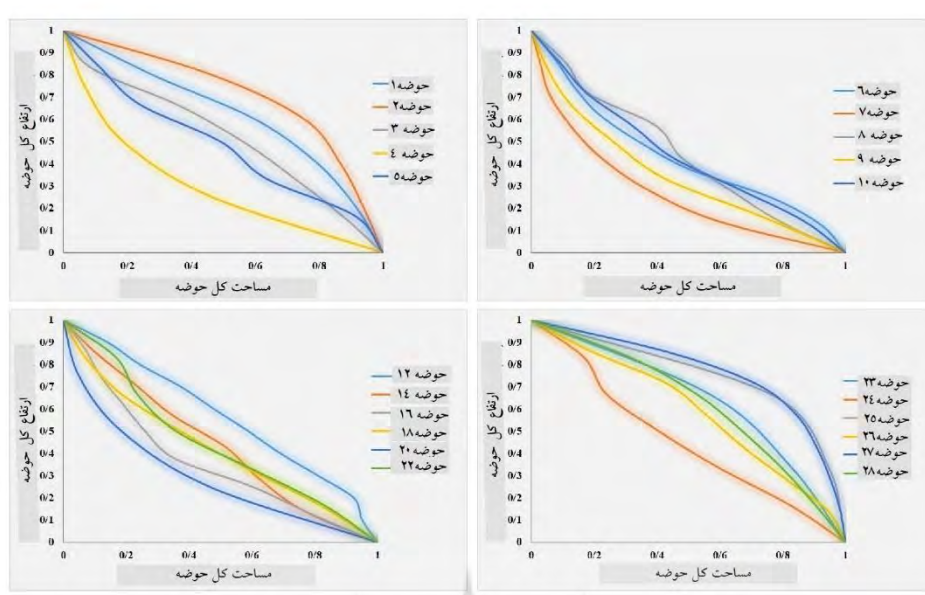
شکل ۴- ارزیابی شاخص گردادیان - طول رودخانه در منطقه مورد مطالعه.

شاخص نسبت پهنه‌ای کف دره به ارتفاع دره، با استفاده از مدل ارتفاع رقومی، مدل سایه ارتفاعی و با کمک گرفتن از مدل سه بعدی تهیه شده از منطقه و رسم نیمرخ از دره‌ها، محاسبه گردیده است. طبق طبقه‌بندی حمدونی و همکاران^۱ (۲۰۰۸)، مقادیر شاخص نسبت پهنه‌ای دره به ارتفاع دره را در سه رده بیان داشته‌اند: رده ۱ یا رده با فعالیت زمین‌ساختی فعال (بالا) ($Vf \leq 0.7$)، رده ۲ یا رده با فعالیت زمین‌ساختی متوسط ($0.7 < Vf \leq 1$) و رده ۳ یا رده با فعالیت زمین‌ساختی کم ($Vf > 1$). در شکل (۵) نحوه طبقه‌بندی حوضه‌های منطقه را از نظر شاخص نسبت پهنه‌ای دره به ارتفاع دره نشان داده شده است. در حوضه‌هایی که با هاشور نمایش داده شده‌اند، محاسبه این شاخص با توجه به نیمرخ‌های به دست آمده، امکان‌پذیر نبوده است. میزان کم این شاخص نشان‌دهنده بالاًمدگی منطقه است. مقادیر شاخص نسبت پهنه‌ای دره با ارتفاع دره در ۲۱ حوضه به دلیل مجاورت این حوضه‌ها با پهنه گسلی فعال کارون‌سرا مقادیر این شاخص کاهش یافته که نشان‌دهنده فعل بودن این مناطق است. در دیگر حوضه‌ها با توجه به شکل نیمرخ‌های عرضی به دست آمده از کanal اصلی رودخانه‌ها، امکان اندازه‌گیری پارامترها و درنتیجه محاسبه این شاخص فراهم نگردید، که حاکی از فرسایش‌پذیر بودن سنگ‌های اطراف این دره‌ها است.

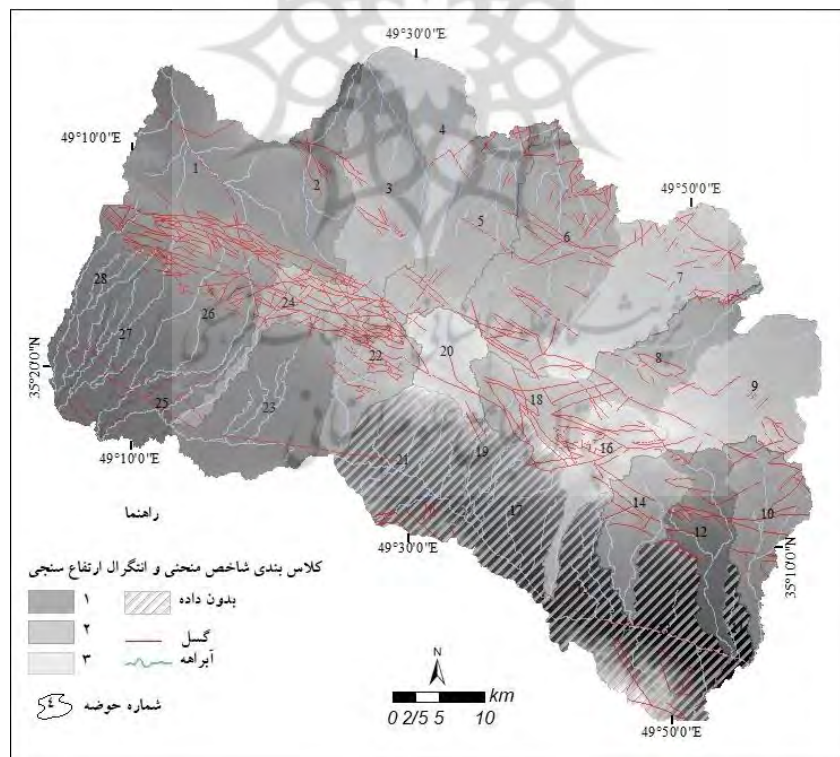


شکل ۵- ارزیابی شاخص نسبت پهنهای کف دره به ارتفاع دره در منطقه مورد مطالعه.

مساحت کل حوضه (A)، از مجموع مساحت بین هر جفت خطوط تراز مجاور به دست می‌آید. مساحت a مساحت سطح حوضه در بالای یک خط ارتفاع خاص (h) است. مقدار مساحت نسبی (a/A) حوضه همیشه از یک در پایین‌ترین نقطه در حوضه ($h/H=1$) تا صفر در بالاترین نقطه حوضه ($h/H=0$) در تغییر است. در منحنی ارتفاع‌سنگی، حوضه‌های زهکشی دارای اندازه‌های متفاوت می‌توانند با یکدیگر مقایسه شوند زیرا مساحت و ارتفاع به عنوان توابعی از کل مساحت و کل ارتفاع محاسبه شده‌اند که این یکی از ویژگی‌های مفید منحنی ارتفاع‌سنگی است. منحنی ارتفاع‌سنگی، به تفاوت‌های موجود در ناهمواری‌ها و اندازه حوضه‌ها وابسته نیست. همان‌طور که برای تشخیص دقیق حوضه‌های اندازه‌گیری شده نقشه‌های توپوگرافی باید بزرگ‌مقیاس باشند، نتایج نیز نباید دارای مقیاس‌های مختلفی باشند. با توجه به شکل هندسی حوضه‌ها و وضعیت توپوگرافی منطقه مورد مطالعه از ۲۸ حوضه موردمطالعه، امکان اندازه‌گیری برای ۲۲ حوضه میسر گردید. طبق نمودارهای ارائه شده در شکل ۶، حوضه‌های موردنمود طبقه‌بندی شده است. رده ۱، نشانگر توپوگرافی جوان (منحنی به شکل محدب)، رده ۲، یک مقدار متوسط در ۳ رده طبقه‌بندی شده است. رده ۳، نشانگر توپوگرافی خواهد ماند و منحنی شکل مقعر پیدا می‌نماید. شکل سیگموئیدال منحنی، نشانگر مرحله بلوغ است و رده ۴، توسعه‌ی بیشتر تا مرحله پیری، باعث تغییر در مقدار انتگرال نمی‌شود جز این‌که بقایای فرسایشی مرتفع محفوظ خواهند ماند و منحنی شکل مقعر پیدا می‌نماید.



شکل ۶- منحنی های فرازسنجی حوضه های آبریز منطقه مورد مطالعه.



شکل ۷- ارزیابی شاخص منحنی ارتفاع سنجی در منطقه مورد مطالعه.

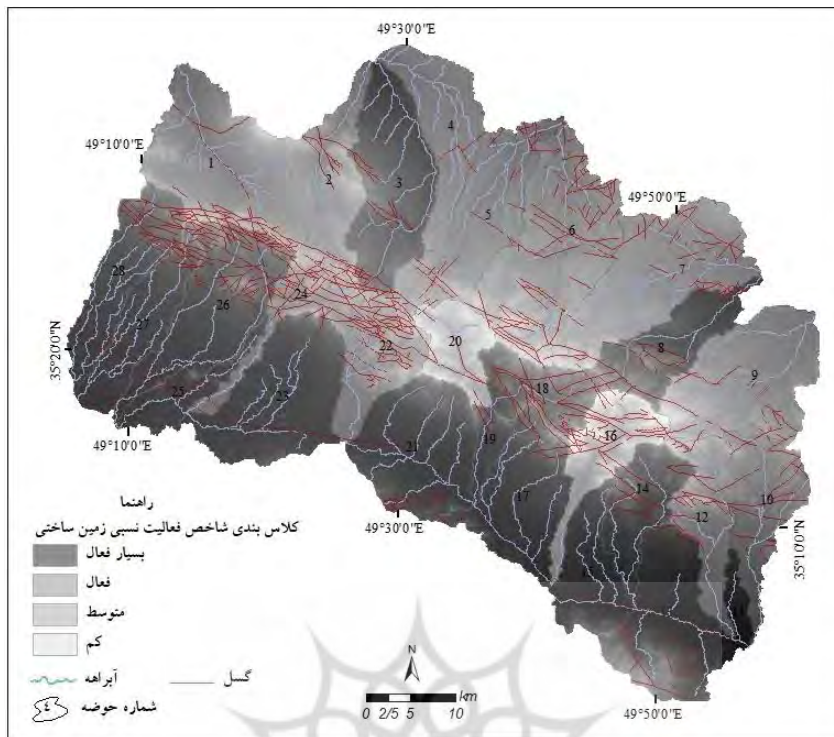
حوضه‌هایی که در نقشه نهایی این شاخص (شکل ۷)، با هاشور نمایش داده شده است، محاسبه این شاخص امکان‌پذیر نبوده است. بیشترین مقادیر این شاخص مربوط به حوضه‌های ۱، ۲، ۱۲، ۲۳، ۲۵، ۲۶ و ۲۸ است که مرتبط با تغییر پهنه گسلی فعال در این منطقه می‌باشند. به طور کلی منحنی‌های فرازسنجی به شکل محدب هستند که بازگوکننده زمین‌ساخت فعال در منطقه است. نمودار حوضه‌ها در بخش باختری منطقه مورد مطالعه به دلیل تراکم بالای شکستگی‌ها دارای شکل محدب و سینوسی هستند که نشان‌دهنده زمین‌ساخت فعال در این محدوده است.

در این پژوهش، جهت ارزیابی نسبی فعالیت‌های زمین‌ساختی منطقه مورد مطالعه، ۵ شاخص ریخت‌سنجی، در هر کدام از ۲۸ حوضه محاسبه شد و به ۳ رده زمین‌ساختی تقسیم گردیده‌اند و با استفاده از قابلیت‌های نرم‌افزار جی ای اس و توابع تحلیلی آن، ۵ لایه اطلاعاتی گرادیان طول - طول رودخانه، عدم تقارن حوضه زهکشی، نسبت پهناوری دره به ارتفاع دره و تقارن توپوگرافی عرضی حوضه‌ها و منحنی هیپسومتری می‌توانند همپوشانی پیدا کنند، درنتیجه می‌توانیم با دقت بالا رده فعالیت نسبی زمین‌ساختی را در هر ناحیه مشخص نماییم. از همپوشانی لایه‌های شاخص ریخت‌سنجی برای تعیین مناطق زمین‌ساختی فعال استفاده شده و درنهایت برای هر حوضه میانگین مقادیر رده شاخص‌های ژئومورفولوژی اندازه‌گیری شده و به ۴ رده فعالیت زمین‌ساختی طبقه‌بندی شد (جدول ۱). رده‌های زمین‌ساخت فعال نسبی: رده ۱ ($Iat \leq 1.0$) که نشان‌دهنده فعالیت زمین‌ساختی بسیار بالا است، رده ۲ ($1.5 \leq Iat < 1.5$)، با فعالیت زمین‌ساختی بالا است، رده ۳ ($2.0 \leq Iat < 2.25$)، بیانگر فعالیت زمین‌ساختی متوسط است و رده ۴ ($Iat \geq 2.5$)، فعالیت زمین‌ساختی نسبی کمی را نشان می‌دهد (حمدونی و همکاران^۱، ۲۰۰۸). پس از رده‌بندی حوضه‌های مورد مطالعه براساس این شاخص (جدول ۱)، نقشه پهنه‌بندی میزان فعالیت زمین‌ساختی نسبی ترسیم شد (شکل ۸).

جدول ۱- مقادیر و رده فعالیت زمین ساختی نسبی شاخص های مورفو متری در ۲۸ حوضه زهکشی در منطقه مورد مطالعه.

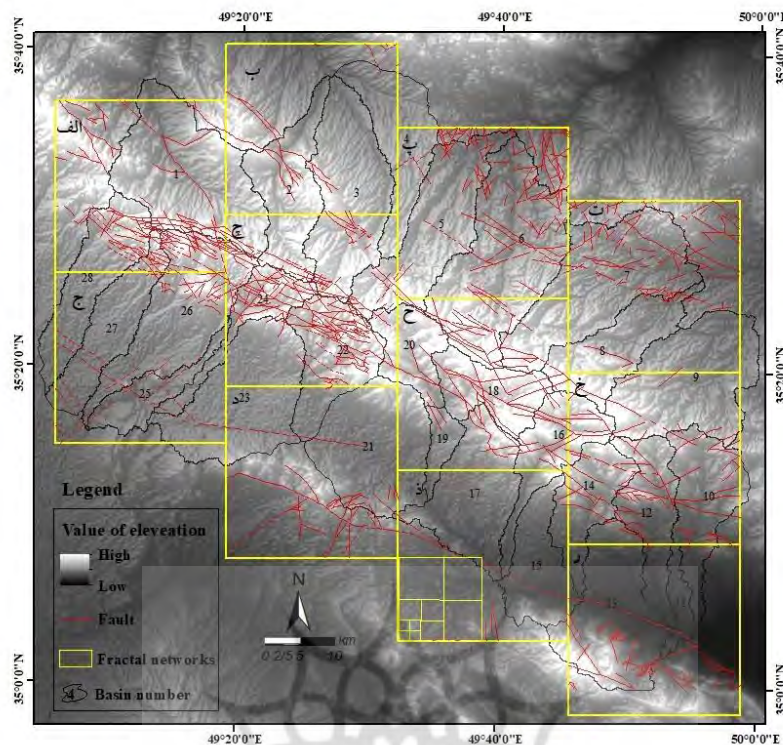
کلاس شاخص فعالیت نسبی تکنوبکی	کلاس شاخص های محاسبه شده	کلاس						
		انگرال هیپوسومتریک	توپوگرافی عرضی حوضه	پهنهای دره به ارتفاع دره	عدم تقارن حوضه زهکشی	گرادیان طول رود	شماره حوضه	
۱/۸	۲	۱	۳	۱	۲	۲	۲	۱
۱/۸	۲	۱	۲	۱	۱	۳	۲	۲
۱/۲	۱	۲	۱	۱	۱	۱	۳	۳
۱/۸	۲	۳	۱	۱	۱	۱	۴	۱
۱/۸	۲	۲	۲	۱	۱	۱	۲	۳
۱/۸	۲	۱	۲	۱	۱	۱	۱	۱
۱/۸	۲	۱	۱	۱	۰	۰	۱	۱
۱/۴	۱	۱	۱	۱	۱	۱	۱	۱
۱/۴	۱	۱	۱	۰	۰	۰	۲	۳
۱/۸	۲	۱	۱	۱	۱	۱	۱	۱
۱/۴	۱	۱	۰	۰	۰	۰	۱/۴	۱
۱/۳	۱	۱	۰	۰	۰	۰	۱/۳	۱
۲/۷۰	۴	۳	۲	۰	۰	۰	۲/۷۰	۴
۱	۱	۰	۰	۱	۱	۱	۱	۱
۱/۴	۱	۱	۱	۱	۱	۱	۱/۴	۱
۱	۱	۱	۱	۱	۱	۰	۱	۱
۲/۷۰	۴	۳	۳	۰	۰	۰	۲/۷۰	۴
۱/۲۰	۱	۰	۰	۱	۱	۱	۱/۲۰	۱
۱/۷۰	۲	۱	۱	۰	۱	۱	۱/۷۰	۲
۱/۴	۱	۱	۱	۱	۱	۱	۱/۴	۱
۱/۰	۲	۱	۰	۱	۱	۱	۱/۰	۲
۱	۱	۰	۱	۱	۱	۱	۱	۱
۱/۲	۱	۱	۰	۱	۱	۱	۱/۲	۱
۱/۲	۱	۱	۱	۱	۰	۲	۱/۲	۱

با توجه به نقشه پهنه بندی نهایی از میزان فعالیت زمین ساختی نسبی در منطقه مورد مطالعه می توان بیان نمود که حوضه های بخش جنوبی پهنه گسلی کاروانسرا از میزان فعالیت زمین ساختی نسبی بیشتری در قیاس با دیگر حوضه ها در محدوده مورد مطالعه برخوردار می باشند که تراکم گسل ها در این منطقه خود شاهدی بر این ادعا است. عملکرد سامانه گسلی فعال در این مناطق نقش مؤثر در ایجاد نرخ های بالایی از میزان فعالیت نسبی زمین ساختی در این حوضه ها داشته است. نتایج تمامی شاخص های ریخت سنگی بررسی شده در این پژوهش نیز، هر یک به تنهایی، نرخ بالای فعالیت نسبی زمین ساختی را در این حوضه ها تأیید می نمایند.

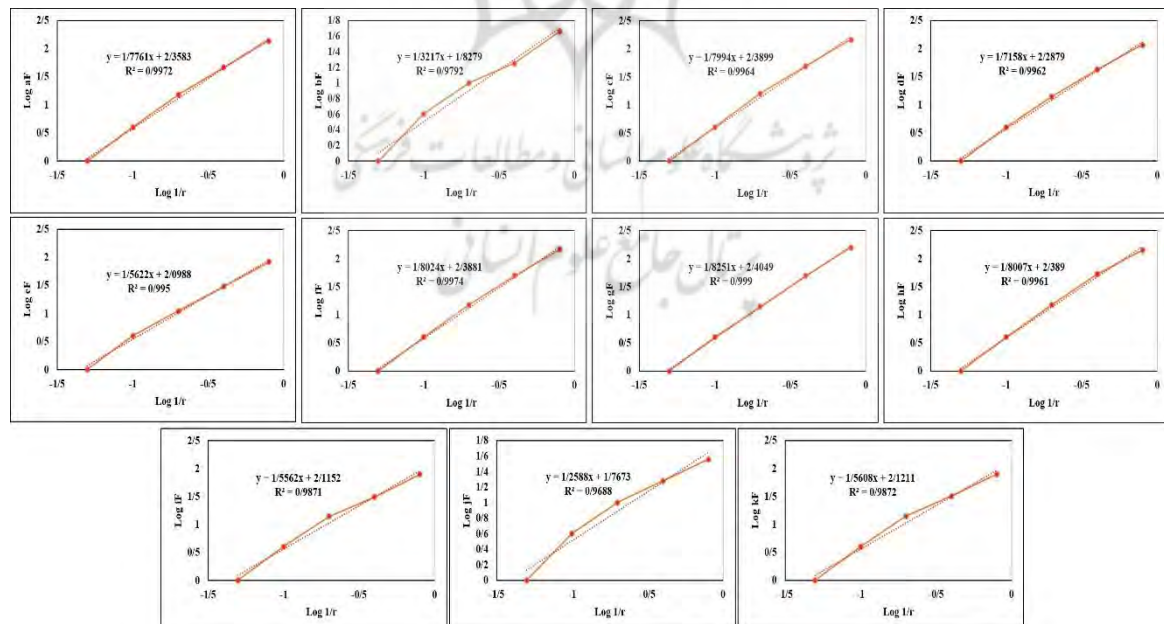


شکل ۸- نقشه پهنه‌بندی میزان فعالیت زمین ساختی نسبی در منطقه مورد مطالعه.

با توجه به وضعیت زئومورفولوژی منطقه، برای اعمال روش مربع شمار، منطقه مورد مطالعه به ۱۱ مربع با ابعاد ۲۰ کیلومتر تقسیم گردید. در بررسی فرکتال سیستم گسلی منطقه هر کدام از مربع‌ها، جداگانه مورد ارزیابی قرار گرفت و برای هریک بعد فرکتالی محاسبه شد. در شکل (۹)، نقشه شبکه‌بندی و پارامترهای تحلیل فرکتال حاصل از بررسی سیستم گسلی منطقه نشان داده شده است. با رسم نمودارهای مربوط به هر پهنه یک بعد فرکتالی به دست آمد (۱۰). وجود اختلاف بعد فرکتالی در بخش‌های متفاوت پهنه گسل نشانگر تفاوت هندسه سیستم گسلش آن بخش‌ها با یکدیگر است (شهریاری و خطیب، ۱۳۷۶). مقدار کم بعد فرکتالی نشانگر این خواهد بود گستره سطحی سیستم گسل محدود بوده و دگر شکلی در آن به حد نهایی رسیده است و مقدار زیاد بعد فرکتالی نشانگر گستره سطحی زیاد سیستم گسلی و بلوغ کمتر سیستم گسل است (شهریاری و خطیب، ۱۳۷۶). منطقه مورد مطالعه پهنه‌های چ، ح و خ بیشترین ($D_I=1/82$ ، $D_E=1/81$ و $D_B=1/81$) و پهنه‌های ب و د ($D_B=1/32$ و $D_J=1/26$) کمترین، بعد فرکتالی را نشان می‌دهند (شکل ۱۰). تراکم بالای شکستگی‌های ساختاری (گسل‌ها)، توپوگرافی مرتفع بخش مرکزی پهنه گسل کاروانسرا و عملکرد فعل نیروهای زمین‌ساختی در این منطقه نشان از برخاستگی فعل در پهنه‌های چ، ح و خ و تأییدی بر محاسبات انجام شده در این پژوهش دارد.

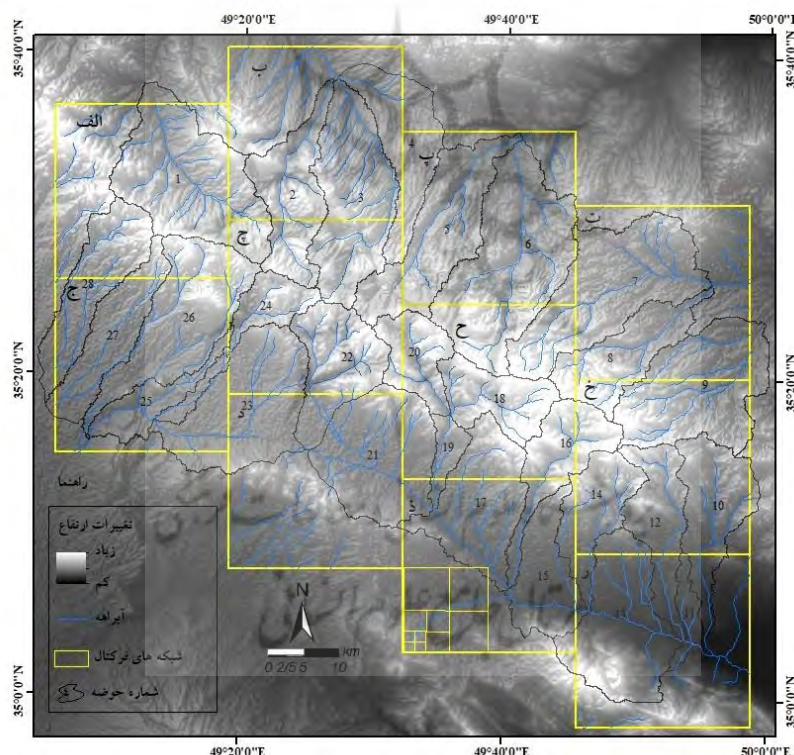


شکل ۹- نقشه گسل های منطقه موردمطالعه و شبکه بندی که برای اعمال روش مربع شمار در به دست آوردن بعد فرکتال ترسیم گردیده است.

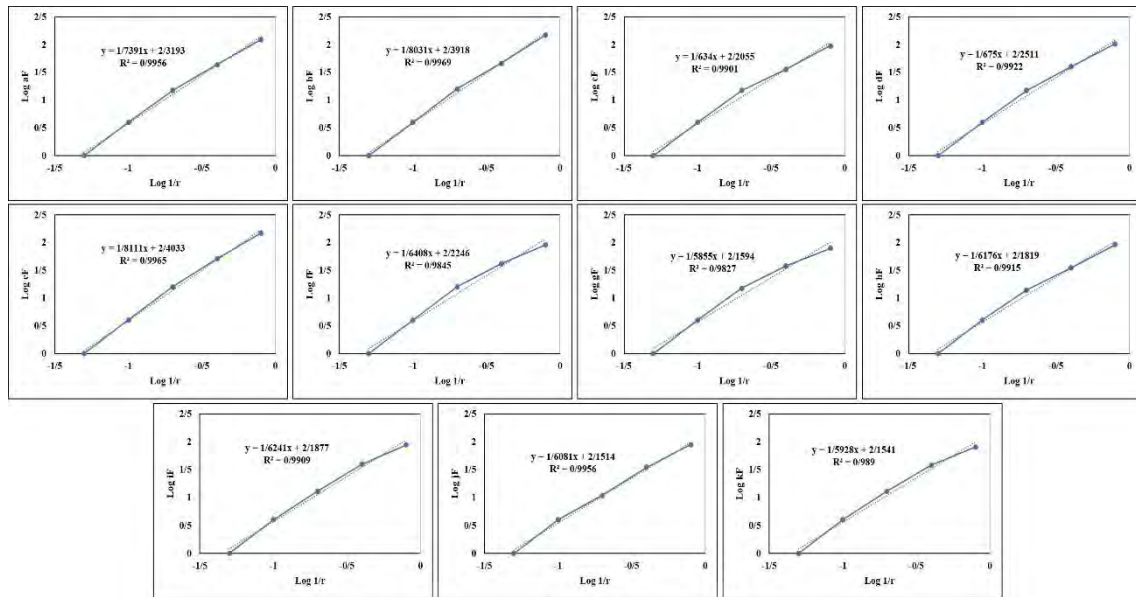


شکل ۱۰- نمودارهای لگاریتمی عکس طول ضلع مربع ها به تعداد مربع هایی که حاوی گسل می باشند.

بر روی لایه شبکه زهکشی منطقه موردمطالعه، جهت محاسبه پارامترها در روش مریع شمار، شبکه‌بندی مطابق شکل ۱۱، منظور گردید. این پهنه‌بندی مشابه با شبکه‌بندی فرکتال گسل‌ها است. در بررسی فرکتال شبکه زهکشی هر کدام از شبکه‌ها، جداگانه مورد ارزیابی قرار گرفت و برای هر یک، بعد فرکتالی محاسبه شده است (شکل ۱۲). با توجه به نتایج ابعاد فرکتالی محاسبه شد، مشاهده می‌شود که این اعداد دارای تفاوت‌هایی است. پهنه‌های ح و ر دارای کمترین میزان بعد فرکتال ($D_g=1/58$ و $D_k=1/59$) و پهنه ب و ج ($D_b=1/80$ و $D_e=1/81$) دارای بیشترین بعد فرکتال در منطقه موردمطالعه است. مقادیر به دست آمده با تفاوت‌های ژئومورفیک در هر پهنه قابل توجیه است. به این ترتیب که هر چه منطقه مرفق‌تر باشد، آبراهه‌ها به طرح موازی و خطی تمایل پیدا می‌کنند، در این صورت بعد فرکتال کاهش می‌یابد. قرارگیری پهنه ب در شمال پهنه گسل کاروانسرا، در منطقه‌ای با تراکم کم شکستگی موجب افزایش بعد فرکتالی آبراهه‌ها در این پهنه گردیده است.



شکل ۱۱- نقشه شبکه زهکشی منطقه موردمطالعه و شبکه‌بندی که برای اعمال روش مریع شمار در به دست آوردن بعد فرکتال ترسیم گردیده است.



شکل ۱۲- نمودارهای لگاریتمی عکس طول ضلع مریع‌ها به تعداد مریع‌هایی که حاوی آبراهه می‌باشند.

۴- جمع‌بندی

حضور گسل‌ها و شکستگی‌ها متعدد با روند غالب شمال‌باخته - جنوب‌خاور و دیگر روندها در پهنه گسل کاروانسرا بیانگر عملکرد نیروهای زمین‌ساختی جوان در منطقه شمال‌نوبران در باخته ایران است. در این پژوهش جهت برآورده شاخص ارزیابی فعالیت نسبی زمین‌ساختی در گستره عملکرد پهنه گسل کاروانسرا، پنج شاخص ریخت‌سنگی، شاخص عدم تقارن حوضه‌زهکشی، شاخص تقارن توپوگرافی عرضی، شاخص گرادیان - طول رودخانه، شاخص نسبت عرض کف دره به ارتفاع آن و شاخص منحنی فرازسنگی محاسبه گردید. با توجه به نقشه پهنه‌بندی نهایی از میزان فعالیت زمین‌ساختی نسبی در منطقه مورد مطالعه می‌توان بیان نمود که حوضه‌های جبهه جنوبی پهنه گسلی کاروانسرا (حوضه‌های ۱۲، ۱۴، ۱۷، ۱۸، ۲۱، ۲۳، ۲۵، ۲۶، ۲۷ و ۲۸) از میزان فعالیت زمین‌ساختی نسبی بیشتری در قیاس با دیگر حوضه‌ها در محدوده مورد مطالعه برخوردار می‌باشند. تراکم گسل‌ها در این منطقه خود شاهدی بر این ادعا است. عملکرد سامانه گسلی فعال در این مناطق نقش مؤثر در ایجاد نرخ‌های بالایی از میزان فعالیت نسبی زمین‌ساختی در این حوضه‌ها داشته است. همچنین بعد فرکتالی در ۱۱ مریع در منطقه مورد مطالعه برای الگوی گسل‌ها و شبکه زهکشی منطقه به روش مریع‌شمار، نمودارهای Log-Log و استفاده از تحلیل‌های فرکتالی مربوطه محاسبه شده است. بررسی نوزمین‌ساخت پهنه گسلی کاروانسرا و قرارگیری حوضه‌ها، با میزان فعالیت زمین‌ساختی متوسط تا بالا، در پهنه گسل‌های اصلی و فعال در منطقه به خصوص در مناطقی که تراکم شکستگی‌ها بیش از دیگر مناطق است و ابعاد فرکتالی محاسبه شده برای پهنه گسلی و شبکه زهکشی، نشان‌دهنده

عملکرد فعال سامانه گسلی در جبهه جنوبی محدوده موردمطالعه است. پهنه‌های چ، ح و خ بیشترین ($D_l=1/82$) و پهنه‌های b و j ($D_h=1/81$ و $D_g=1/81$) و پهنه‌های b و j ($D_b=1/32$ و $D_e=1/81$) کمترین، بعد فرکتالی گسل‌ها و پهنه‌های g و k دارای کمترین میزان بعد فرکتال ($D_g=1/58$ و $D_k=1/59$) و پهنه b و e ($D_b=1/80$ و $D_e=1/81$) داری بیشترین بعد فرکتال آبراهه‌ها را نشان می‌دهند. مقادیر به دست آمده با تفاوت‌های ژئومورفیک در هر پهنه قابل توجیه است. به این ترتیب که هرچه منطقه مرفق‌تر باشد، آبراهه‌ها به طرح موازی و خطی تمایل پیدا می‌کنند، در این صورت بعد فرکتالی کاهش می‌یابد. تراکم بالای شکستگی‌های ساختاری (گسل‌ها)، توپوگرافی نقش مؤثر ساختارهای زمین‌ساختی در ایجاد نرخ‌های بالایی از میزان فعالیت نسبی زمین‌ساختی و ریخت‌شناسی شبکه زهکشی به عنوان، عوامل مخاطرات طبیعی جدی در محدوده موردمطالعه محسوب می‌شوند.

کتابنامه

اورنگ، کیوان؛ محجل، محمد؛ تاجبخش، غلامرضا؛ ۱۳۹۳. شواهد وارونگی بردار لغزش در گسل کوشک‌نصرت، شمال ساوه، فصلنامه علمی - پژوهشی علوم زمین، سازمان زمین‌شناسی کشور. شماره ۹۴، ۳۲۸-۳۱۵.

بهرامی، شهرام؛ معتمدی‌راد، محمد؛ اکبری، الهه؛ ۱۳۹۲. بررسی تأثیر تکتونیک در ویژگی‌های کمی شبکه زهکشی (مطالعه موردی: چهار حوضه زهکشی در شمال شرق کشور). مطالعات جغرافیایی مناطق خشک، سال سوم، شماره ۱۲، ۱۰۲-۸۵.

پورکرمانی، محسن؛ معتمدی، حسین؛ ۱۳۸۱. روش‌های زمین‌شناسی ساختمانی. انتشارات دانشگاه شهید بهشتی تهران.

سلیمانی، شهریار؛ ۱۳۷۸. رهنمودهایی در شناسایی حرکات تکتونیکی فعال و جوان با نگرشی بر مقدمات دیرینه‌لرزه‌شناسی، پژوهشگاه بین‌المللی زلزله‌شناسی و مهندس زلزله.

سیف، عبدالله؛ خسروی، قاسم؛ ۱۳۸۹. بررسی تکتونیک فعال در قلمرو تراست زاگرس منطقه فارسان، پژوهش‌های جغرافیایی طبیعی (پژوهش‌های جغرافیایی سابق). شماره ۷۴، ۱۲۵-۱۴۶.

علایی مهابادی، سلیمان؛ خلعتبری جعفری، مرتضی؛ ۱۳۸۳. نقشه زمین‌شناسی ۱:۱۰۰۰۰۰ نویران، سازمان زمین‌شناسی و اکتشافات معدنی کشور.

علایی مهابادی، سلیمان؛ فوذاری، محمد؛ ۱۳۸۶. نقشه زمین‌شناسی ۱:۱۰۰۰۰۰ رزن، سازمان زمین‌شناسی و اکتشافات معدنی کشور.

قنواتی، عزت‌الله؛ صفاکیش، فربده؛ مقصودی، یاسر؛ ۱۳۹۶. ارزیابی تکتونیک فعال در زیر حوضه‌های جراحی - زهره بر پایه تحلیل مورفو-تکتونیکی و اثرهای آن بر میدان‌های نفتی حوضه موردمطالعه، پژوهش‌های جغرافیایی طبیعی. دوره ۴۹، شماره ۲، ۲۴۰-۲۲۱.

گورابی، ابوالقاسم؛ ۱۳۹۵. تکتونیک فعال، زمین‌لزه‌ها، بالاًمدگی و چشم‌انداز. انتشارات دانشگاه تهران.

گورابی، ابوالقاسم؛ نوحه‌گر، احمد؛ ۱۳۸۶. شواهد ژئومورفو-لوزیکی تکتونیک فعال حوضه آبخیز درکه، پژوهش‌های جغرافیایی. شماره ۶۰، ۱۹۶-۱۷۷.

محمودی، مریم؛ ۱۳۹۷. تحلیل ساختاری و نوزمین ساخت پهنه‌گسلی خانخاب، شمال باختیر ایران. پایان‌نامه کارشناسی ارشد، استاد راهنمای دکتر امیرحسین صدر، دانشگاه بوعالی سینا همدان، دانشکده علوم پایه.

مقصودی، مهران؛ عمالدین، سمیه؛ ۱۳۸۳. ارزیابی ویژگی‌های لندرفمهای نواحی بیابانی با تأکید بر دشت لوت. مطالعات جهانگردی دانشگاه علامه طباطبائی. شماره ۶، ۹۵-۱۰۹.

- Alipoor, R, Poorkermani, M, Zare, M, El Hamdouni, R., 2011. Active tectonic assessment around Rudbar Lorestan dam site, High Zagros Belt (SW of Iran). *Geomorphology*, 128: 1–14.
- Alizeee A zzzzz zaar tinzz rrr krrineja K.. , 2010. Petrology, geochemistry 40Ar-39Ar Geochronology in a gneiss dome within the Zagros Orogenic Belt Geochronologie 40Ar-39Ar dans un dome gneissique de la ceinture orogenique du Zagros. *C. R. Geoscience*, 342: 837–846.
- Bolourchi, MH., 1978. Geological Quadrangle Map of Avaj, Scale 1:100,000, Sheet D 5861. Geological Survey of Iran.
- Bull, WB, McFadden, LD., 1977. Tectonic geomorphology north and south of the Garlock fault, California, In: Doehring, D.O. (Ed.), *Geomorphology in Arid Regions*, Proceedings of the Eighth Annual Geomorphology Symposium, State University of New York, and Binghamton, 115-138.
- Bull, WB., 2007. Tectonic geomorphology of mountains: a new approach to paleoseismology, Blackwell Publishing, Malden, MA. 316.
- Burbank, D, Anderson, R., 2001. *Tectonic Geomorphology*. Blackwell science. 274p.
- Ciccacci, S, Fredi, P, Lupia Palmieri, E, Pugliese, F., 1986. Indirect evaluation of erosion entity in drainage basins through geomorphic, climatic and hydrological parameters. *International Geomorphology*, 2: 33–48.
- El Hamdouni, R, Irigaray, C, Fernandez, T, Chacan, J, Keller, EA., 2008. Assessment of relative active tectonics, southwest border of Sierra Nevada (southern Spain). *Geomorphology*, 96, pp.150-173.
- Guarnieri, P, Pirrotta, C., 2008. The Response of Drainage Basins to the Late Quaternary Tectonics in the Sicilian Side of the Messina Strait (NE Sicily). *Geomorphology*, 95: 260-273.
- Hack, JT., 1973. Stream-profile analysis and stream-gradient index, U.S. Geological Survey Journal of Research, 1: 421 - 429.
- Hare, PW. Gardner, TW., 1985. Geomorphic indicators of vertical neotectonism along converging plate margins, Nicoya Peninsula, Costa Rica. In: Morisawa, M., Hack, J.T. (Eds.), *Tectonic Geomorphology*. Proceedings of the 15th Annual Binghamton Geomorphology Symposium. Allen and Unwin, Boston, MA, 123–134.
- Keller, EA, Bonkowski, MS, Korsch, RJ. Shlemon, RJ., 1982. Tectonic geomorphology of the San Andreas Fault zone in the southern Indio Hills, Coachella Valley, California. *Geological Society of America Bulletin* 93: 46–56.
- Keller, EA, Pinter, N., 1996. Active tectonics: earthquakes, uplift, and landscape. by Prentice-Hall, Inc. Simon and Schuster/A Viacom Company Upper Saddle River, New Jersey, 7458: 121 - 145.
- Keller, EA, Pinter, N., 2002a. *Active Tectonics: Earthquakes, Uplift and Landscape*, second ed. Prentice Hall, NJ. 362.
- Li, Y, Yang, J, Tan, L, Duan, F., 1999. Impact of tectonics on alluvial landforms in Hexi corridor, Northwest China. *Geomorphology*, 28: 299-308.

- Molin, P, Pazzaglia, FJ, Dramis, F., 2004. Geomorphic expression of active tectonics in a rapidly-deforming forearc, sila massif, Calabria, southern Italy. American Journal of Science. 304: 559–589.
- Obruchev, VA., 1948. Osnovnyje certy Kinetiki i plastiki neotektoniki, Izv. Akad. Nauk SSSR Ser. Geol. 5 (First introduced the term neotectonics into the geological literature).
- Ramirez, M. Herrera, MT., 1998. Geomorphic assessment of active tectonics in the Acambay Graben, Mexican volcanic belt. Earth Surface Processes and Landforms, 23: 317-332.
- Turcotte, DL., 1997. Fractals and Chaos in Geology and Geophysics", Cambridge Univ. Press.

